

Кинетика фазового перехода с сингулярным мультипликативным шумом

© А.И. Олемской, Д.О. Харченко

Сумский государственный университет,
244007 Сумы, Украина

E-mail: Alexander@olem.sumy.ua
dikh@ssu.sumy.ua

(Поступила в Редакцию 5 июля 1999 г.)

Для стохастической системы с амплитудой шума, зависящей от параметра порядка x как $|x|^a$, исследовано поведение наиболее вероятных значений x и амплитуды флуктуаций сопряженной силы p . Показано, что для канонической пары x, p фазовая полуплоскость $x > 0$ разбивается на изолированные области больших, промежуточных и малых значений x . В первой с течением времени $t \rightarrow \infty$ траектории сбегаются к значениям $x, p \rightarrow \infty$, вероятность их реализации исчезающе мала. В промежуточной области конфигурационная точка стремится к притягивающему центру, отвечающему стационарному упорядоченному состоянию. В области $x \ll 1$ при $0 < a < 1/2$ траектории сбегаются к точке $x = p = 0$, а при $1/2 < a \leq 1$ — к $x = 0, p \rightarrow \infty$. В первом случае вероятность реализации траекторий конечна; во втором она исчезающе мала, и можно говорить о появлении поглощающего состояния.

Влияние флуктуаций на кинетику фазового перехода хорошо исследовано [1,2], однако при этом, как правило, рассматриваются термодинамические системы, в которых состояние термостата не зависит от рассматриваемой подсистемы (гидродинамической моды, праметризирующей фазовый переход). Предлагаемая работа посвящена исследованию противоположного случая мультипликативного шума, интенсивность которого зависит от параметра порядка x , определяющего состояние подсистемы. Наиболее популярным примером такого рода является модель Ферхюльста, предложенная для объяснения популяционной кинетики [3]; ее исследование остается актуальным до последнего времени [4]. Другой пример представляет перколяционная модель [5], в рамках которой линейная зависимость от x реализуется не для амплитуды шума, а для ее интенсивности. Мы будем использовать степенную зависимость с произвольным показателем.

Отличительная особенность нашего подхода состоит в том, что будут исследоваться временные зависимости не средних, а наиболее вероятных величин. Это достигается на основе полевой схемы, в рамках которой функционал вероятности имеет экспоненциальную форму с показателем, который с точностью до знака сводится к стандартному действию [6]. Поэтому описание фазового перехода с помощью наиболее вероятных значений отвечает использованию принципа наименьшего действия. Мы покажем, что такой подход позволяет распространить метод самосогласованного поля на описание систем с мультипликативным шумом. При этом обнаруживается весьма нетривиальная особенность: в зависимости от пространственного масштаба наиболее вероятные значения могут стремиться как к минимумам свободной энергии, так и к точкам, отвечающим неустойчивым термодинамическим состояниям. Сингулярный характер шума, означающий стремление его интенсивности к нулю при значении

параметра порядка $x = 0$, обуславливает появление на фазовом портрете области, в которой все траектории за конечное время сбегаются к оси $x = 0$. Иными словами, появляется поглощающее состояние (absorbing state), в котором происходит замирание системы [7].

Пространственно-временная зависимость амплитуды гидродинамической моды $x(\mathbf{r}, t)$ определяется уравнением Ланжевена

$$\dot{x}(\mathbf{r}, t) = -\gamma \frac{\delta \mathcal{F}}{\delta x(\mathbf{r}, t)} + g(x)\zeta(\mathbf{r}, t), \quad (1)$$

интерпретируемым в смысле Ито. Здесь точка означает дифференцирование по времени t , \mathbf{r} — координата, γ — кинетический коэффициент,

$$\mathcal{F} = \int \left[F(x) + \frac{\beta}{2} |\nabla x|^2 \right] d\mathbf{r}, \quad (2)$$

$F(x)$ — удельный термодинамический потенциал, $\beta > 0$ — постоянная, $\nabla \equiv \partial/\partial \mathbf{r}$; $\zeta(\mathbf{r}, t)$ — стохастическое слагаемое, представляющее белый шум

$$\langle \zeta(\mathbf{r}, t) \rangle = 0, \quad \langle \zeta(\mathbf{r}, t) \zeta(\mathbf{0}, 0) \rangle = \gamma T \delta(\mathbf{r}) \delta(t), \quad (3)$$

где угловые скобки означают усреднение, T — температура.¹ Амплитуда мультипликативного шума $g(x)$ в уравнении (1) полагается в простейшем виде

$$g(x) = |x|^a, \quad (4)$$

где a — положительный показатель, величина которого изменяется в интервале от 0 до 1 [8]. Далее удобно

¹ Принятый выбор коэффициента γT в корреляторе (3) позволяет сохранить стандартную форму уравнения Фоккера–Планка, где диффузионное слагаемое входит с множителем 1/2 (соответственно распределение Гаусса имеет стандартную дисперсию γT). При удвоении коэффициента γT стандартный вид Онсагера приобретает диффузионная составляющая потока вероятности.

перейти к безразмерным величинам, относя координату \mathbf{r} к межатоному расстоянию a , время t к масштабу $a^3/T\gamma$, величину F к T/a^3 , флуктуацию ζ к $T\gamma/a^3$. Тогда уравнение (1) записывается в дифференциальной форме следующим образом:

$$dx = (\nabla^2 x + f(x))dt + g(x)dw, \quad (5)$$

$$f \equiv -\partial F/\partial x, \quad dw = \zeta dt,$$

где $f = f(x)$ — сила, сопряженная параметру порядка. Область применимости приближения Гинзбурга–Ландау (2) определяется условием, согласно которому масштаб a намного меньше корреляционной длины $\xi = \beta^{1/2}|\partial^2 F/\partial x^2|_{x=0}^{-1/2}$ [9]. Проводя усреднение выражения (1), в пренебрежении корреляциями получаем уравнение Ландау–Халатникова для параметра порядка $\langle x(\mathbf{r}, t) \rangle$.

Перейдем теперь к новому полю $y(\mathbf{r}, t)$ связанному с исходным $x(\mathbf{r}, t)$ соотношением

$$\frac{dx}{dy} = g(x(y)). \quad (6)$$

В исчислении Ито дифференциалы стохастических полей $x(\mathbf{r}, t)$, $y(\mathbf{r}, t)$ связаны соотношением

$$dy = \frac{dy}{dx}dx + \frac{1}{2} \frac{d^2y}{dx^2}(dx)^2. \quad (7)$$

Подставляя сюда выражение (5), нетрудно видеть, что с учетом (6) новое стохастическое поле удовлетворяет уравнению Ланжевена

$$\dot{y} = \nabla^2 y + g'(\nabla y)^2 + h(x(y)) + \zeta \quad (8)$$

с аддитивным шумом и эффективной силой

$$h \equiv f/g - g'/2. \quad (9)$$

Здесь и далее штрих означает дифференцирование по x .

Найденное уравнение (8) позволяет использовать стандартную полевую схему [6], которая основывается на исследовании производящего функционала. Он представляет функциональное преобразование Лапласа

$$Z\{u(\mathbf{r}, t)\} = \int Z\{y(\mathbf{r}, t)\} \exp\left(\int u y d\mathbf{r} dt\right) Dy(\mathbf{r}, t) \quad (10)$$

для статистической суммы

$$Z\{y(\mathbf{r}, t)\} = \left\langle \prod_{(\mathbf{r}, t)} \delta\{\dot{y} - \nabla^2 y - g'(\nabla y)^2 - h - \zeta\} \det \left[\frac{\delta \zeta}{\delta y} \right] \right\rangle_{\zeta}. \quad (11)$$

Здесь аргумент δ -функции сводится к уравнению Ланжевена (8), а детерминант, обеспечивающий переход от континуального интегрирования по $\zeta(\mathbf{r}, t)$ к $y(\mathbf{r}, t)$, равен в исчислении Ито единице.

В рамках подхода [6] n -кратное варьирование функционала (10) по вспомогательному полю $u(\mathbf{r}, t)$ позволяет найти коррелятор n -го порядка для амплитуды гидродинамической моды $y(\mathbf{r}, t)$ и построить теорию возмущений. Мы, однако, будем исходить из выражения (11) для сопряженного функционала $Z\{y(\mathbf{r}, t)\}$, варьирование которого приводит к наиболее вероятной реализации стохастического поля $y(\mathbf{r}, t)$. Очевидно, в приближении среднего поля функционал (11) сводится к зависимости $Z\{\langle y(\mathbf{r}, t) \rangle\}$, которая отвечает свободной энергии Ландау $F\{\langle y(\mathbf{r}, t) \rangle\} = -T \ln Z\{\langle y(\mathbf{r}, t) \rangle\}$ [9].

Переходя к рассмотрению функционала (11), представим δ -функцию в интегральном виде

$$\delta\{y(\mathbf{r}, t)\} = \int_{-i\infty}^{i\infty} \exp\left(-\int q y d\mathbf{r} dt\right) Dq. \quad (12)$$

Тогда, проводя усреднение по шуму ζ с помощью гауссова распределения

$$P_0\{\zeta\} \propto \exp\left\{-\frac{1}{2} \int \zeta^2(\mathbf{r}, t) d\mathbf{r} dt\right\}, \quad (13)$$

отвечающего (3), с учетом (12) приводим функционал (11) к стандартному виду

$$Z\{y(\mathbf{r}, t)\} = \int P\{y(\mathbf{r}, t), q(\mathbf{r}, t)\} Dq, \quad P \equiv e^{-S}. \quad (14)$$

Здесь распределение вероятности $P\{y, q\}$ задается действием $S = \int L d\mathbf{r} dt$, где лагранжиан равен

$$L(y, q) = q [\dot{y} - \nabla^2 y + g'(\nabla y)^2 - h] - q^2/2. \quad (15)$$

Далее используем уравнения Эйлера

$$\frac{\partial L}{\partial z} - \frac{d}{dt} \frac{\partial L}{\partial \dot{z}} - \nabla \frac{\partial L}{\partial \nabla z} + \nabla^2 \frac{\partial L}{\partial \nabla^2 z} = \frac{\partial R}{\partial \dot{z}}, \quad z \equiv \{y, q\}, \quad (16)$$

где диссипативная функция есть

$$R(y) = \dot{y}^2/2. \quad (17)$$

В результате уравнения для наиболее вероятных реализаций стохастических полей $y(\mathbf{r}, t)$, $q(\mathbf{r}, t)$ принимают вид

$$\dot{y} = \nabla^2 y + g'(\nabla y)^2 + h + q, \quad (18)$$

$$\dot{q} = -\nabla^2 q - q(1 + gh') - (\nabla^2 y + g'(\nabla y)^2 + h) + 2\nabla(g'q\nabla y). \quad (19)$$

Сравнение (18) с совпадающим по виду стохастическим уравнением (8) показывает, что поля $y(\mathbf{r}, t)$, $q(\mathbf{r}, t)$ представляют наиболее вероятные значения амплитуд вспомогательной гидродинамической моды, определенной равенством (6), и флуктуаций сопряженной силы. Очевидно, величина последней сводится к сопряженному импульсу $q = \partial L/\partial \dot{y}$. Обращает на себя внимание то обстоятельство, что неоднородность поля $y(\mathbf{r}, t)$ имеет

обычный диссипативный характер, тогда как неоднородность флуктуаций сопряженного импульса q входит с противоположным знаком.

Для возврата к исходному стохастическому полю $x(\mathbf{r}, t)$ воспользуемся связью (6) и определением (9). В результате лагранжиан (15) и диссипативная функция (17) принимают вид

$$L(x, p) = p(\dot{x} - \nabla^2 x - f + gg'/2) - g^2 p^2/2, \quad (20)$$

$$R(x) = \dot{x}/2g^2, \quad (21)$$

где использовано определение сопряженного импульса $p = \partial L/\partial \dot{x}$, дающее связь

$$p = q/g. \quad (22)$$

Тогда уравнения Эйлера (16) принимают вид

$$\dot{x} = \nabla^2 x + f - gg'/2 + g^2 p, \quad (23)$$

$$\begin{aligned} \dot{p} = & -\nabla^2 p - p[1 + f' - (gg')'/2 + gg'p] \\ & - (\nabla^2 x + f)/g^2 + g'/2g. \end{aligned} \quad (24)$$

С точностью до слагаемого $p(g''/g)(\nabla x)^2$ в правой части (24) такие уравнения получаются непосредственно из системы (18), (19) с использованием связей (6), (22) и определения (9) (указанное слагаемое превышает точность модели Гинзбурга–Ландау (2) и может быть отброшено).

Поскольку далее нас интересует только характер временной зависимости, то воспользуемся простейшим приближением для градиентных слагаемых

$$\nabla^2 x \rightarrow \xi^{-2} x, \quad \nabla^2 p \rightarrow \lambda^{-2} p, \quad (25)$$

где корреляционная длина ξ и параметр λ определяют масштабы пространственных неоднородностей амплитуд гидродинамической моды и флуктуаций силы. Кроме того, используем x^4 -модель

$$F(x) = \frac{\varepsilon}{2} x^2 + \frac{1}{4} x^4, \quad \varepsilon \equiv \frac{T - T_c}{T_c} \quad (26)$$

и определение мультипликативной функции (4). Поскольку лагранжиан (20) не меняет своего вида при одновременном изменении знаков x, p , то фазовые портреты будут обладать центральной симметрией относительно начала координат $x = p = 0$. С другой стороны, согласно (4), ось $x = 0$, на которой интенсивность шума принимает нулевое значение, является сингулярной (см. далее). Поэтому уместно ограничиться исследованием только верхней части фазовой плоскости, отвечающей значению $x > 0$. Тогда уравнения (23), (24) записываются в виде

$$\dot{x} = x [(\xi^{-2} - \varepsilon) - x^2] - (a/2)x^{2a-1} + x^{2a} p, \quad (27)$$

$$\begin{aligned} \dot{p} = & p \{ -[(1 + \lambda^{-2}) - \varepsilon] + 3x^2 \\ & + (a/2)(2a - 1)x^{2(a-1)} - ax^{2a-1} p \} \\ & - x^{1-2a} [(\xi^{-2} - \varepsilon) - x^2] + (a/2)x^{-1}. \end{aligned} \quad (28)$$

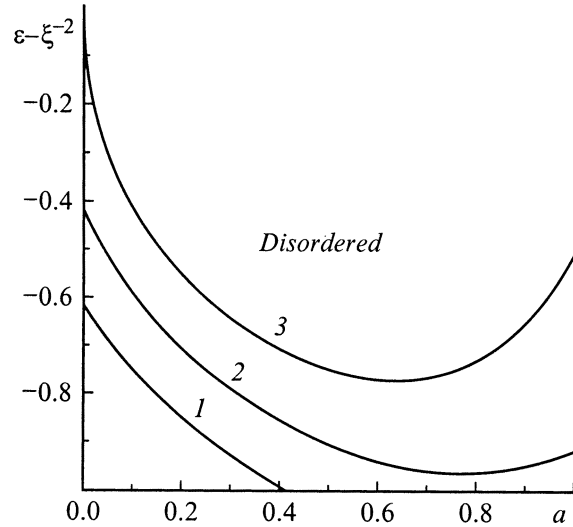


Рис. 1. Зависимость от показателя a безразмерной температуры ε_i , при которой сливаются седло S и узел C . Кривые 1, 2, 3 отвечают значениям параметра $\lambda = 0.9; 1.1; \infty$. Кривая 3 соответствует температуре ε_0 , при которой происходит бифуркация седла S_0 и узла C .

В стационарном состоянии $\dot{x} = \dot{p} = 0$ имеем

$$p = -(\xi^{-2} - \varepsilon)x^{1-2a} + x^{3-2a} + (a/2)x^{-1}, \quad (29)$$

$$\begin{aligned} p \{ & [(\lambda^{-2} - a\xi^{-2}) - (1 - a)\varepsilon] - (3 - a)x^2 \\ & + (a(1 - a)/2)x^{2(a-1)} \} = 0. \end{aligned} \quad (30)$$

Отсюда следует, что при температурах, превышающих значение T_0 , определенное условием (рис. 1)

$$\begin{aligned} \xi^{-2} - \varepsilon_0 = & (a/2)^{\frac{1}{2-a}} (1 - a)^{-\frac{1-a}{2-a}} (2 - a), \\ \varepsilon_0 \equiv & (T_0 - T_c)/T_c, \end{aligned} \quad (31)$$

вид фазового портрета характеризуется наличием единственной седловой точки S , положение которой задается корнем сомножителя, стоящего в (30) при амплитуде флуктуаций $p \neq 0$. Как видно из рис. 2, при температуре T_0 происходит бифуркация в точке, определенной координатами

$$p_0 = 0, \quad x_0 = [a(1 - a)/2]^{\frac{1}{2(2-a)}}. \quad (32)$$

При этом появляются дополнительное седло S_0 и притягивающий узел C , положения которых, определенные условием $p = 0$, задаются координатами x_{\mp} . С дальнейшим охлаждением системы седло S и узел C сливаются в точке

$$p_i = 0, \quad x_i^2 = \frac{1 - a}{2 - a} (\xi^{-2} - \varepsilon) + \frac{\lambda^{-2} - \xi^{-2}}{2(2 - a)}, \quad (33)$$

отвечающей температуре инверсии T_i , задаваемой условием

$$\xi^{-2} - \varepsilon_i = x_i^2 + (a/2)x_i^{2(a-1)}, \quad \varepsilon_i \equiv (T_i - T_c)/T_c. \quad (34)$$

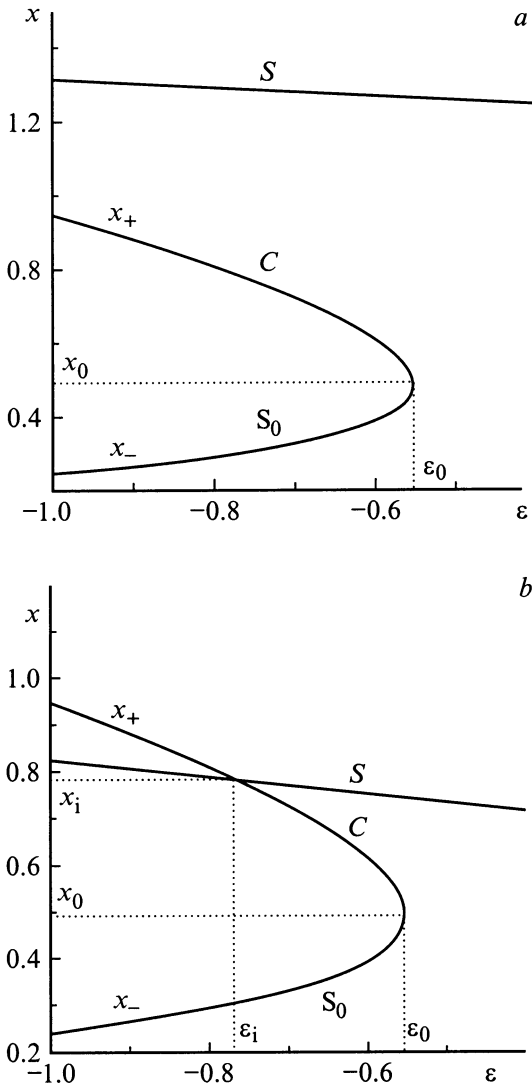


Рис. 2. Температурная зависимость стационарных значений параметра порядка при $a = 0.2$ и $\lambda = 0.5$ (a), $\lambda = 1.1$ (b).

При $T < T_i$ точка S , определяемая корнем второго сомножителя в (30), становится притягивающим узлом, а точка C , лежащая на оси $p = 0$, трансформируется в седло. Как видно из рис. 2, указанная инверсия имеет место только при условии, что масштаб λ изменения амплитуды флуктуации превышает критическое значение λ_c , величина которого определяется равенствами (33), (34) при условии $\varepsilon_i = -1$. Зависимость величины λ_c от показателя a приведена на рис. 3. При $a = 0$ и 1 получаем соответственно $\lambda_c = (2 + 3\xi^{-2})^{-1/2}$ и $(1 + 3\xi^{-2})^{-1/2}$.

Проведенное рассмотрение показывает, что в системах с $\lambda > \lambda_c$ при температурах $T < T_i$ стационарное состояние системы отвечает точке S , координаты которой определяются равенствами

$$p = -f/g^2 + g'/2g - g^{-2}\nabla^2 x, \quad (35a)$$

$$f' = -p^{-1}\nabla^2 p - gg'p + (gg')'/2. \quad (35b)$$

Их смысл устанавливается, если перейти к аддитивному пределу $g(x) \rightarrow 1$: условие (35) означает, что для однородных систем наиболее вероятное значение p амплитуды флуктуаций сопряженной силы противоположно по знаку величине силы f ; согласно (35b), при этом восприимчивость $(F'')^{-1} = -1/f'$ принимает бесконечное значение. Таким образом, узел S отвечает стационарному состоянию термодинамической системы, неустойчивой относительно перехода в упорядоченную фазу. При этом фазовый портрет имеет вид, показанный на рис. 4, a.

При температурах $T > T_i$ реализуется стационарное состояние в точке C с координатами

$$p = \nabla p = \nabla x = 0, \quad (36a)$$

$$f = gg'/2. \quad (36b)$$

В аддитивном пределе эта точка отвечает однородному состоянию термодинамического равновесия ($f = 0$). Как видно из рис. 4, соответствующий фазовый портрет может быть получен не только при повышении температуры (рис. 4, b), но и за счет уменьшения масштаба неоднородности λ (рис. 4, c), а также при увеличении показателя a мультипликативной функции (рис. 4, d).

Разумеется, в процессе своей эволюции реальная термодинамическая система стремится к равновесному (36), а не к неустойчивому (35) состоянию. Поскольку первое отвечает малым значениям параметра неоднородности λ , а второе большим, то можно заключить, что в равновесном состоянии распределение флуктуаций сопряженного поля $p(\mathbf{r})$ является сильно неоднородным. При этом фазовые портреты имеют вид, показанный на рис. 4, b–d. В сравнении с рис. 4, a их характерная особенность состоит в том, что притягивающий узел располагается на оси $p = 0$. Общий вид фазовых портретов, приведенных на рис. 4, характеризуется наличием

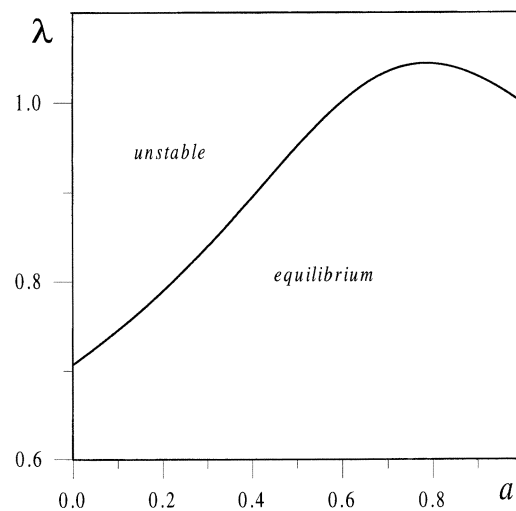


Рис. 3. Фазовая диаграмма, показывающая области значений параметра неоднородности λ и показателя a , при которых реализуются неустойчивое и равновесное термодинамические состояния.

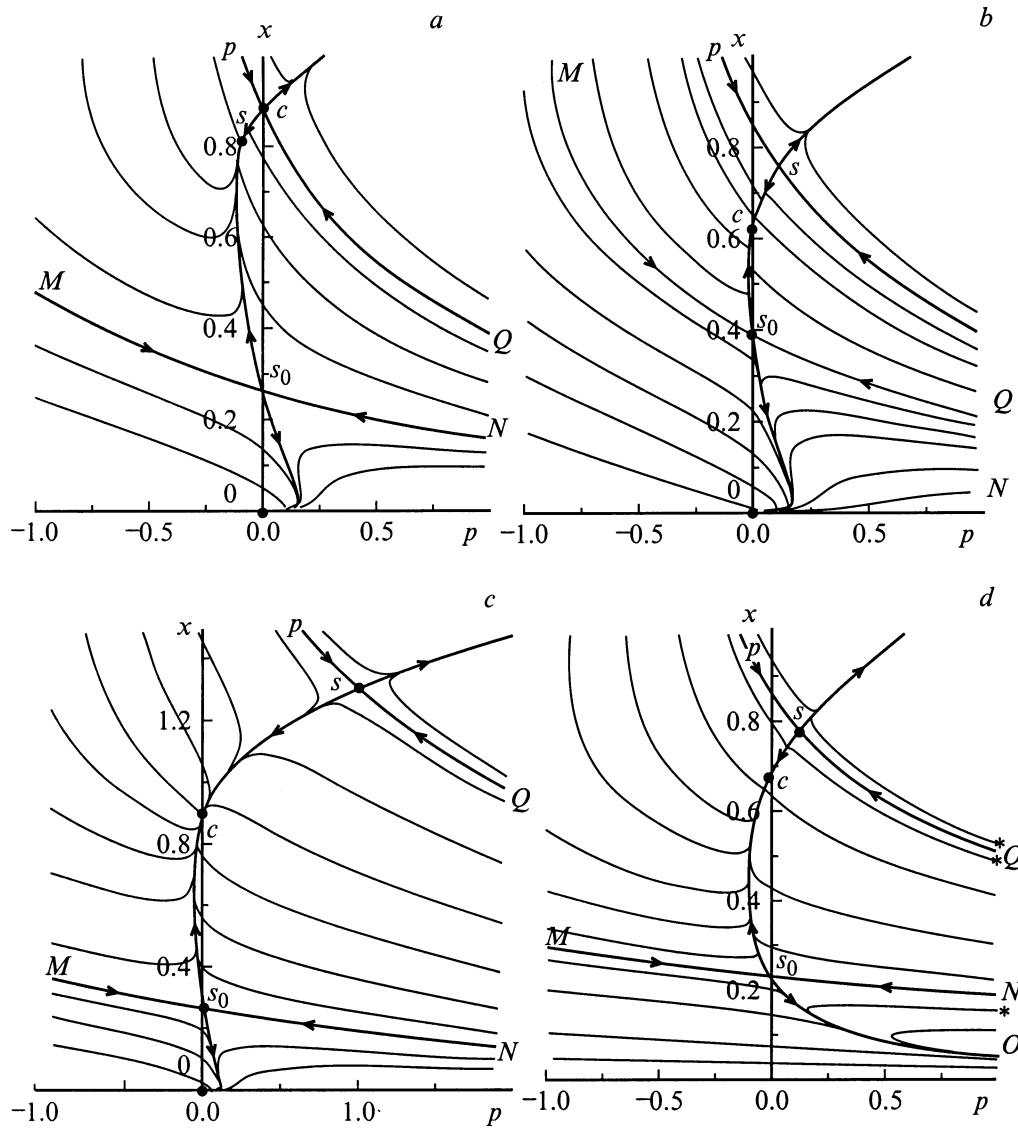


Рис. 4. Основные типы фазовых портретов в упорядоченном состоянии: *a* — $\varepsilon = -0.9$, $\lambda = 1$, $a = 0.2$; *b* — $\varepsilon = -0.6$; *c* — $\lambda = 0.5$; *d* — $a = 0.7$ (для рисунков *b, c, d* указаны только параметры, значения которых изменены в сравнении с рисунком *a*). Обозначения стационарных точек те же, что и на рис. 2.

двух сепаратрис с ветвями PQ и MS_0N . Они разбивают фазовую плоскость на три изолированные области, которые отвечают большим, промежуточным и малым значениям параметра порядка x . Первая из указанных областей характеризуется бесконечным возрастанием величин x, p с течением времени $t \rightarrow \infty$. Далее будет показано, что в действительности она не реализуется. Наиболее актуальной является область промежуточных значений x , в которой со временем система попадает в стационарное упорядоченное состояние. Именно эта область определяет кинетику фазового перехода. Появление области, отвечающей значениям $x \ll 1$, обусловлено мультипликативным характером шума. Здесь с ростом времени параметр порядка $x(t)$ стремится к значению $x = 0$.

Исследуем поведение системы в каждой из указанных областей. С этой целью рассмотрим вероятность реализации фазовой траектории, отвечающей различным начальным значениям $x_0 \equiv x(t = 0)$. Согласно (14), она представляется в виде

$$P(x_0) \propto \exp \left\{ -\frac{1}{2} \int_{x_0} g^2 p^2 dt \right\}, \quad (37)$$

где учтены выражения (20), (23), интегрирование проводится вдоль соответствующей траектории. Получающаяся зависимость $P(x_0)$ для показателя $a < 1/2$ приведена на рис. 5, *a*. Помимо тривиального возрастания вероятности (37) с приближением к началу координат при значениях x_0 , отвечающих сепаратрисам, наблюдаются

скачки, вблизи которых $P(x_0)$ может незначительно увеличиваться. Вне области, ограниченной (внешней) сепаратрисой, имеем $P = 0$, поскольку здесь $x(t), p(t) \rightarrow \pm\infty$ при $t \rightarrow \infty$.

Указанное поведение вероятности $P(x_0)$ объясняется характером временных зависимостей $x(t), p(t)$ параметра порядка и амплитуды флуктуаций в процессе релаксации начального значения (рис. 6). Вдали от участка S_0CS (рис. 4, *d*) величины p, x быстро меняют свои значения, а с приближением к нему происходит замедление. Такое поведение объясняется тем, что вблизи указанного участка действие $S\{x(\mathbf{r}, t), p(\mathbf{r}, t)\}$ изменяется намного медленнее, чем вдали от него. Наглядно это можно представить, ассоциируя участок S_0CS с руслом большой реки [10].

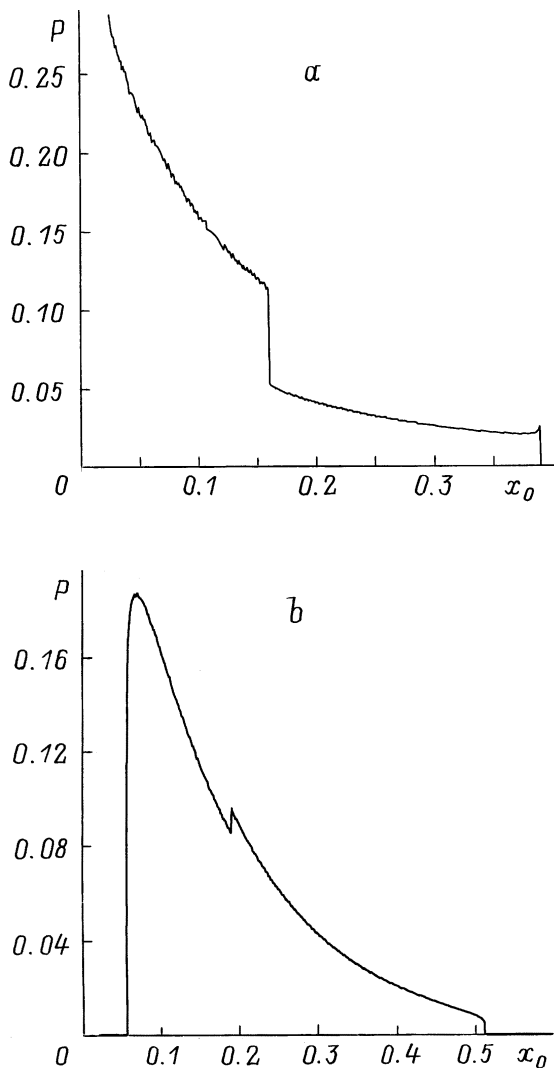


Рис. 5. Зависимость вероятности реализации различных траекторий P от начального значения параметра порядка x_0 при $\varepsilon = -0.9$, $\lambda = 1$ и $a - a = 0.2$; $b - a = 0.7$. Случай (a) отвечает фазовому портрету на рис. 4, *a*, случай (b) — на рис. 4, *d*. Начальное значение сопряженного импульса $p_0 = 1$.

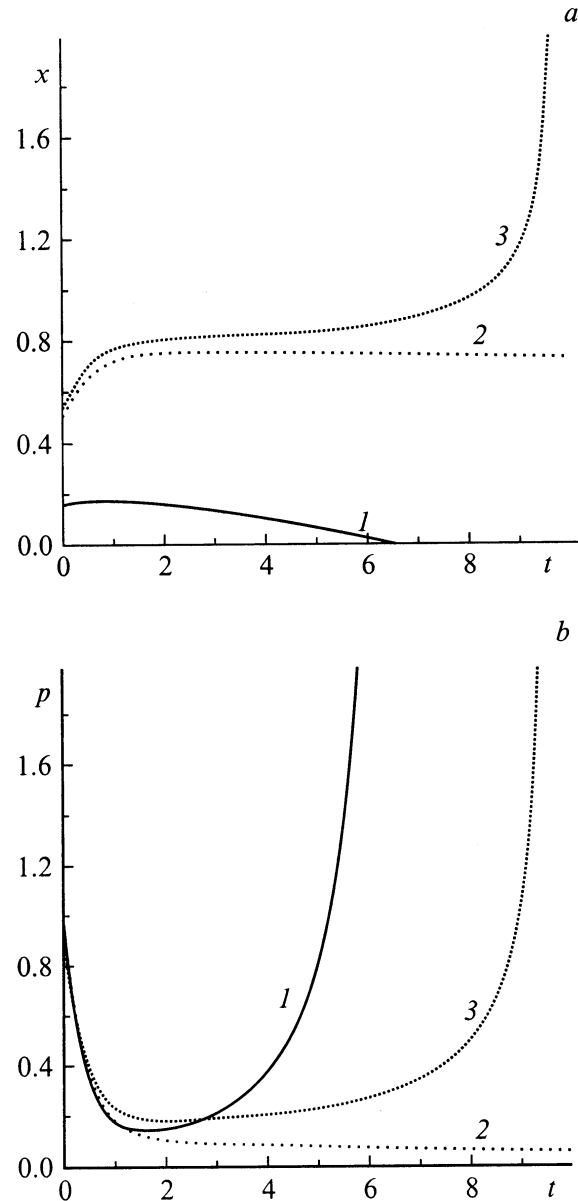


Рис. 6. Типичный вид временных зависимостей параметра порядка (a) и сопряженного импульса (b) при значениях параметров $\varepsilon = -0.9$, $\lambda = 1$, $a = 0.7$, отвечающих рис. 4, *d*. Кривые 1, 2, 3 выбраны в областях малых, промежуточных и больших значений x . Начальные положения конфигурационной точки помечены звездочкой на рис. 4, *d*.

При значениях показателя $a > 1/2$ подынтегральная функция в выражении (37) расходится и вероятность P принимает нулевые значения при $x_0 \ll 1$ (рис. 5, *b*). Характерно, что указанная расходимость наблюдается только в области фазового портрета, ограниченной ветвью сепаратрисы S_0O на рис. 4, *d*.

Для объяснения вида зависимости $P(x_0)$ исследуем поведение величин $x(t), p(t)$ при различных значениях показателя a . С этой целью положим в уравнении (28) $\dot{p} = 0$. Получающееся в результате квадратное уравне-

ние дает стационарные значения сопряженного импульса с пределе $x \rightarrow 0$

$$p = \frac{1}{2} \left(\frac{1}{2} - a \right)^{-1} x^{1-2a}, \quad a < \frac{1}{2}; \quad (38a)$$

$$p = \left(a - \frac{1}{2} \right) x^{-1}, \quad a > \frac{1}{2}. \quad (38b)$$

Таким образом, при $a < 1/2$ система стремится с течением времени к началу координат $x = p = 0$, а с превышением критического значения $a = 1/2$ притягивающий узел скачком перемещается на бесконечность ($p \rightarrow \infty, x = 0$). Соответствующая подинтегральная функция в распределении (37)

$$g^2 p^2 = \frac{1}{4} \left(\frac{1}{2} - a \right)^{-2} x^{2(1-a)}, \quad a < \frac{1}{2}; \quad (39a)$$

$$g^2 p^2 = \left(a - \frac{1}{2} \right)^2 x^{-2(1-a)}, \quad a > \frac{1}{2} \quad (39b)$$

характеризуется инверсией знака показателя при переходе через критическое значение $a = 1/2$. Подставляя (38a) в уравнение движения (27) и удерживая в нем лидирующие члены, при $a < 1/2$ получаем уравнение $2\dot{x} = -ax^{2a-1}$, которое дает временную зависимость параметра порядка

$$x^{2(1-a)} = a(1-a)(t_0 - t), \quad t < t_0, \quad a < 1/2, \quad (40)$$

где t_0 — константа интегрирования, определяющая время, в течение которого точка попадает на ось $x = 0$. Подстановка зависимости (40) в (39a), а результата в интеграл (37) показывает, что при $a < 1/2$ вероятность $P(x_0)$ реализации траектории в области фазового портрета $x \ll 1$ отлична от нуля (рис. 5, a).

Совершенно иная ситуация наблюдается при показателе $a > 1/2$. В этом случае уравнение (27) сводится к виду $2\dot{x} = -(1-a)x^{2a-1}$, что дает (40), где множитель $a(1-a)$ заменен на $(1-a)^2$. Однако согласно (39), при $a > 1/2$ выражение $g^2 p^2$ приобретает показатель с противоположным знаком, так что при $t \rightarrow t_0$ оно принимает бесконечное значение. В результате вероятность (37) становится исчезающе малой (рис. 5, b). Физическая причина такого поведения состоит в том, что за конечный промежуток времени $t_0 < \infty$ система попадает на ось $x = 0$, что обеспечивает бесконечное значение сопряженного импульса $p \propto x^{-1} \propto (t_0 - t)^{-1/2(1-a)}$. Наглядно это можно представить как выпадение конденсата (absorbing state) конфигурационных точек из области фазового портрета $x \ll 1$ на ось абсцисс при $p \rightarrow \infty$. Укажем, что условие $t_0 < \infty$ выполняется только ниже ветви сепаратрисы S_0O на рис. 4, d, а в области NS_0O имеем $t_0 = \infty$, и расходимость подинтегрального выражения в (37) не проявляется. Поэтому равенство $P = 0$ выполняется только ниже линии S_0O (рис. 5, b, 4, d).

Согласно (40), временная зависимость параметра порядка $x(t)$ задается показателем

$$D = 2(1-a), \quad (41)$$

величина которого определяет фрактальную размерность, характеризующую фазовый портрет системы с мультипликативным шумом [11]. В аддитивном пределе $a = 0$ выражение (41) дает, как и следовало ожидать, размерность $D = 2$ фазовой плоскости. Это означает, что с течением времени $t \rightarrow \infty$ фазовые траектории системы заполняют всю эту плоскость. Рост показателя $a > 0$ приводит к уменьшению фрактальной размерности D , которая при $a = 1/2$ принимает критическое значение $D = 1$. С дальнейшим увеличением a фрактальная размерность множества точек на плоскости $x-t$, которое представляет закон движения $x(t)$, становится меньше единицы. Физической причиной такого поведения является указанное выше поглощение конфигурационных точек осью $x = 0$ при $p \rightarrow \infty$.

Список литературы

- [1] C. Domb. The critical point. Taylor & Francis, London (1996). 376 p.
- [2] A.J. Bray. Adv. Phys. **43**, 357 (1994).
- [3] В. Хорстхемке, Р. Лефевр. Индуцированные шумом переходы. Мир, М. (1990). 399 с.
- [4] О.В. Геращенко, С.Л. Гинзбург, М.А. Пустовойт. Письма в ЖЭТФ **67**, 945 (1998).
- [5] M.A. Munoz. Phys. Rev. **E57**, 1377 (1998).
- [6] J. Zinn-Justin. Quantum Field Theory and Critical Phenomena. Clarendon Press, Oxford (1994). 996 p.
- [7] R. Dickman. In: Nonequilibrium Statistical Mechanics in One Dimension / Ed. by V. Privman. Cambridge University Press, Cambridge (1997).
- [8] А.И. Олемской. УФН **168**, 287 (1998).
- [9] Е.М. Лифшиц, Л.П. Питаевский. Статистическая физика. Ч. 2. Наука, М. (1978). 488 с.
- [10] А.И. Олемской, А.В. Хоменко. ЖЭТФ **110**, 2144 (1996).
- [11] A.I. Olemskoi. Phys. Rev. **18**, Part 1, 1 (1996).